

## ЛИТЕРАТУРА

1. В. А. Осипова, М. И. Пак. «Атомная энергия», № 25, 72 (1969).
2. М. И. Пак, В. А. Осипова. «Теплоэнергетика», № 12, 68 (1966); № 6, 63 (1967).
3. В. А. Осипова. Экспериментальное исследование процессов теплообмена. М., «Энергия», 1969.

4. В. И. Одоловский. ЖТФ, XXI, 667 (1951).
5. Thermophys. Propert. of High Temper. Solid Mater. N. Y.—Lond., 1967.
6. А. Агте, И. Вацек. Вольфрам и молибден. М., «Энергия», 1964.
7. И. Н. Макаренко, Л. Н. Труханова, Л. П. Филиппов. «Теплофизика высоких температур», 8, 445 (1970).

## Электроперенос углерода в бериллии

В. Ш. ГЛАДКОВ, В. С. ЗОТОВ, Д. М. СКОРОВ

УДК 539.125.525

Изучение электропереноса примесных элементов в твердых металлах дает возможность получить ряд важных характеристик материалов. Например, известно [1], что с помощью пропускания постоянного тока через образец бериллия во время зонной очистки эффективность удаления углерода удалось увеличить. Принято, авторы объясняют этот результат влиянием не только электропереноса, но и эффекта Пельтье, вызывающего температурный градиент в расплавленной зоне.

В связи с этим был изучен электроперенос углерода в бериллии с ГПУ-решеткой. Для исследования использовали поликристаллический порошковый бериллий со средней крупностью зерна 56 мкм. Содержание примесей по результатам химического анализа (в вес. %): кислорода — 0,15; углерода — 0,06; азота — 0,05; железа — 0,1; кремния — 0,07; хрома — 0,02; меди — 0,03; марганца — 0,02; никеля — 0,005; магния — 0,002.

Образцы образцов диаметром 0,5 см и длиной 0,6 см пропаривали, а затем покрывали суспензией элементарного углерода  $C^{14}$  в цапонлаке. Пары таких образцов, имеющие активными сторонами, зажимали между металлическими токоподводами и помещали в вакуумную печь ( $\sim 10^{-4}$  торр) для отжига. Во время отжига образцы пропускали постоянный ток плотностью 300 амп.

Бериллиевые образцы до рабочих температур производили внешним нагревателем, а температуру опыта определяли Pt — Pt + 10% Rh-термопарой с точностью не хуже  $\pm 5^\circ\text{C}$ . После отжига анодные и катодные пары образцов послойно анализировали методом типа Т-25-БФЛ (диаметр слюдянного окна 25 мм, толщина слюды 1,0 мг/см<sup>2</sup>). В результате такого анализа получали зависимость, характеризующую распределение углерода по глубине образцов.

Количество нанесенного углерода обеспечивало условия, соответствующие диффузии из «постоянного источника».

Транспорт диффузии из постоянного источника под действием силы имеет вид:

$$\frac{\partial c(x, t)}{\partial t} = D \frac{\partial^2 c(x, t)}{\partial x^2} \pm \vartheta \frac{\partial c(x, t)}{\partial x}; \quad (1)$$

$$\left. \begin{aligned} c(0, t) &= c_0, \quad t > 0; \\ c(x, 0) &= 0, \quad x \geq 0; \\ c(\infty, t) &= 0, \end{aligned} \right\}, \quad (2)$$

$c$  — концентрация диффундирующего элемента;  $D$  — коэффициент диффузии, не зависящий от концентрации;  $\vartheta$  — направленная скорость перемещения

вещества под воздействием вынуждающей силы;  $c_0$  — постоянная концентрация, соответствующая пределу растворимости изучаемой примеси в металле. В общем случае решение уравнения (1) с краевыми условиями (2) имеет вид [2]

$$c(x, 0) = \frac{c_0}{2} \exp\left(\frac{\vartheta}{D}x\right) \left[ \operatorname{erfc}\left(\frac{x+\vartheta t}{2\sqrt{Dt}}\right) + \exp\left(-\frac{\vartheta}{D}x\right) \operatorname{erfc}\left(\frac{x-\vartheta t}{2\sqrt{Dt}}\right) \right]. \quad (3)$$

При изменении направления поля концентрации в полубесконечных пространствах связаны между собой выражением

$$c(x, t)_+ = c(x, t) - \exp\left(\frac{\vartheta}{D}x\right), \quad (4)$$

где  $c(x, t)_+$  и  $c(x, t)_-$  — концентрация в анодной и катодной частях пары образцов соответственно.

Для расчета эффективного заряда можно воспользоваться выражением [3]

$$z^* = \alpha \frac{kT}{ej\rho} \cdot \frac{\vartheta}{D}, \quad (5)$$

где  $k$  и  $e$  — постоянная Больцмана и заряд электрона;  $j$  — плотность тока;  $\rho$  — удельное электросопротивление образца;  $\alpha$  — коэффициент, учитывающий кристаллическую структуру металла ( $\alpha = 0,78$  [4]). Отношение  $\vartheta/D$  вычислялось по уравнению (4).

Результаты измерений электропереноса углерода в бериллии при трех температурах приведены в таблице.

## Электроперенос углерода в бериллии

Температура опыта, $^\circ\text{K}$	$\rho$ , мкм·см [5]	$D$ , см <sup>2</sup> /сек	$\vartheta \cdot 10^{-8}$ , см/сек	Подвижность $U$ , см/ч	$z^*$
1473 $\pm$ 4	46,0	$1,3 \cdot 10^{-9}$	2,34	$2,02 \cdot 10^{-4}$	-0,254
1373 $\pm$ 5	41,5	$2,2 \cdot 10^{-9}$	2,49	$3,48 \cdot 10^{-4}$	-0,164
1273	37,5	$2,0 \cdot 10^{-10}$	2,56	$2,71 \cdot 10^{-6}$	-26,5

При выбранных температурах происходит электроперенос углерода к аноду, и, следовательно, эффективный заряд углерода в бериллии отрицателен. Электроперенос вызван взаимодействием электрического поля с электрически заряженными активированными

атомами и увлечением атомов движущимися электронами в результате упругих соударений. Поэтому формула для эффективного заряда включает как параметры диффундирующей примеси, так и характеристики электронов проводимости [6]:

$$z^* = z_i + nle\sigma_i, \quad (6)$$

где  $z_i$  — кулоновский заряд атома;  $n$  — концентрация электронов проводимости;  $l$  — пробег электронов;  $\sigma_i$  — сечение рассеяния примесного атома. К сожалению, полного расчета по формуле (6) произвести невозможно.

В приближении двухзонной модели твердого тела эффективный заряд связан с температурой [7]:

$$z^* = z_i + \frac{b}{T + \rho_0/\alpha}, \quad (7)$$

где  $\rho_0$  и  $\alpha$  — параметры температурной зависимости сопротивления, а  $b$  — некоторая константа. Оценка  $z_i$ , по выражению (7), дает  $z_i = -233$  (1273—1473° К) и  $z_i = -2$  (1373—1473° К). Значение собственного заряда ( $-233$ ) не имеет, очевидно, физического смысла, и в этом температурном интервале выбранное приближение несправедливо. Но в интервале температур 1373—1473° К заряд углерода в бериллии имеет вполне приемлемое значение. Отрицательная ионизация атомов углерода должна привести к увеличению их размеров, поэтому вряд ли справедливо мнение о том, что углерод с бериллием образует твердые растворы внедрения [5].

В работе [8] проанализированы результаты изучения электроперехода в 26 двойных системах. Оказывается, что значения подвижности и механизм миграции связаны друг с другом, причем для примесей внедрения

$$U = 0,01 \div 7,2 \frac{\text{см}/\text{ч}}{\text{в/см}}, \text{ а для примесей замещения}$$

$$U = 3 \cdot 10^{-4} \div 1,5 \cdot 10^{-3} \frac{\text{см}/\text{ч}}{\text{в/см}}. \text{ В нашей работе полу-}$$

чено значение  $U \approx 10^{-4}$  и ниже (см. таблицу). Таким образом, вероятно, углерод в бериллии является примесью замещения.

Из изложенного можно сделать следующие выводы:

1) изучен электропереход углерода в поликристаллическом бериллии с крупностью зерна 56 мкм;

2) определены эффективные заряды в бериллии при 1273, 1373 и 1473° К, равные  $-26,5$ ;  $-0,154$  и  $-0,264$  соответственно;

3) в приближении двухзонной модели твердого тела рассчитан собственный заряд углерода в бериллии ( $z_i = -2$  для интервала 1373—1473° К);

4) предполагается, что в системе бериллий — углерод могут быть твердые растворы замещения.

Поступило в Редакцию 9/IV 1971 г.

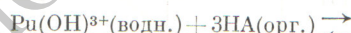
## ЛИТЕРАТУРА

1. В. Н. Гринюк и др. «Изв. АН СССР. Металлы», 4, 77 (1967).
2. Б. И. Болтакс. Диффузия в полупроводниках. М., Физматгиз, 1961.
3. В. Зайт. Диффузия в металлах. М., Изд-во иностранлит., 1958.
4. П. П. Кузьменко, Г. П. Гриневич. В сб. «Диффузионные процессы в металлах». Киев, 1968, стр. 5.
5. И. И. Папиров, Г. Ф. Тихинский. Физическое металловедение бериллия. М., Изд-во АН СССР, 1968.
6. В. Б. Фикс. Ионная проводимость в металлах и полупроводниках. М., Физматгиз, 1969.
7. Д. Ф. Калинович и др. «Физика твердого тела», 10, 8, 1480 (1968).
8. J. Verhoeven. J. Metals, 26, 1 (1966).

## Термодинамика экстракции плутония (IV) из хлорно-и азотнокислых растворов в присутствии щавелевой кислоты

А. С. СОЛОВКИН, А. И. ИВАНЦОВ

Как показал анализ литературных [1] и собственных данных, проведенный по методикам работ [2—4], экстракция Pu (IV) из азотнокислых сред растворами 2-тионилтрифторацетона (НА) в  $C_6H_6$  описывается уравнениями:



а экстракция из хлорнокислых сред — также уравнением



В соответствии с этим зависимость коэффициента распределения от состава водной и органической фаз вы-

разится уравнением

$$D = \frac{a_{\text{HA}}^3}{a_{\text{H}^+}^3} \left( K_0^0 \frac{M'_{\text{Pu}^{4+}} \gamma_{\text{Pu}^{4+}} a_{\text{HA}}}{a_{\text{H}^+}} + \right. \\ \left. + K_{\text{ClO}_4}^0 M'_{\text{Pu}^{4+}} \gamma_{\text{Pu}^{4+}} a_{\text{ClO}_4} + K_{\text{OH}}^0 M'_{\text{Pu(OH)}^{3+}} \gamma_{\text{Pu(OH)}^{3+}} \right), \quad (1)$$

где  $a_i$  и  $\gamma_i$  — активности и коэффициенты активности соответствующих ионов и молекул;  $M'_i$  — доли  $i$  ионов в водной фазе;  $K_0^0$ ,  $K_{\text{OH}}^0$  и  $K_{\text{ClO}_4}^0$  — термодинамические константы равновесия указанных выше реакций.

Из сопоставления экспериментальных и расчетных значений  $D$  следует (табл. 1), что уравнение (1) позволяет удовлетворительно описать распределение Pu (IV) в широком интервале составов водной и органической фаз.

При введении в систему щавелевой кислоты коэффициент распределения Pu (IV) уменьшается, причем